ETE - JIH
SYNTÉZA VÝSLEDKŮ GEOLOGICKÝCH PRACÍ (INTERPRETACE GEOFYZIKÁLNÍCH MĚŘENÍ, DRUŽICOVÝCH A LETECKÝCH SNÍMKŮ A ARCHIVNÍCH PODKLADŮ)

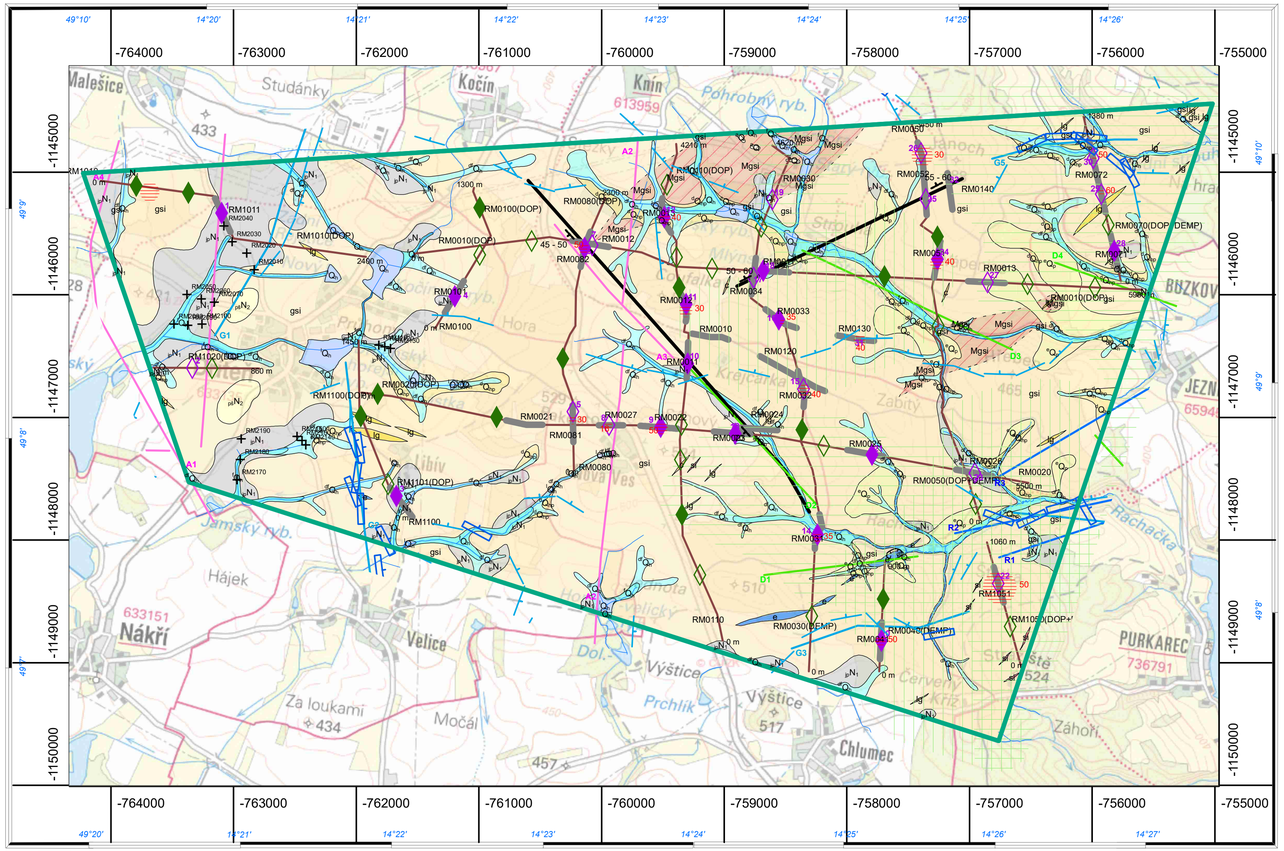

Autor: R. Kašpar, J. Nedvěd
Spolupracovali: J. Mišurec, J. Tlamsa, A. Vojtěchovská
Technické zpracování: D. Lanča
Tematický obsah © Sdružení Moldanubikum (AQUATEST a.s., SG Geotechnika a.s.), 2018;
© ÚAP Jihočeský kraj, 2016, © ČGS, 2016,
Mapový podklad © Český úřad zeměměřický a katastrální, 2016

0 500 1 000 1 500 2 000 2 500 m

1:25 000

Zhodnocení geologických a dalších informací vybraných částí českého moldanubika z hlediska potencionální vhodnosti pro umístění HÚ ETE - jih
Číslo smlouvy: SO2016-058
1 : 25 000 Technická zpráva č.:TZ-222/2018 Příloha 3

SÚRAO | SPRÁVA ÚLOŽIŠŤ RADIOAKTIVNÍCH ODPADŮ | NAŠE BEZPEČNÁ BUDOUCNOST

RM2010 + změřený bod VES
změřené geofyzikální profily metodou ERT
změřené geofyzikální profily metodou DOP, DEMP
A tektonická linie z archivní rešerše - A
G spojnice maxim horizontálního tíhového gradientu - G
R lineamenty radar delší než 1200m - R
D lineamenty DMR delší než 1200m - D

Hustotní rozhraní dle Linsserovy metody, převzato
- Miligal (2016): Geofyzikální mapy z okolí
polygonu ETE, příloha č. 4

výrazná rozhraní
méně výrazná rozhraní
podružná rozhraní
nevýrazný nevodič
nevýrazný vodič
výrazný nevodič
výrazný vodič
hustota lineamentů dle radaru (ALOS-PALSAR) > 6,2/km²
hustota lineamentů dle DMR > 4,5/km²
4 číslo geofyzikální anomálie
40 oblast hlubšího zvětrání a max. mocnost zvětralin (m)
60 směr a sklon dislokace (odhad sklonu dle řezů ERT - elektrická odporová tomografie)

KLAD LISTŮ

1 : 100 000

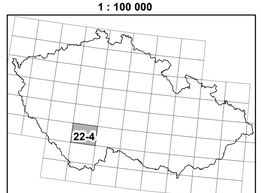

1 : 50 000

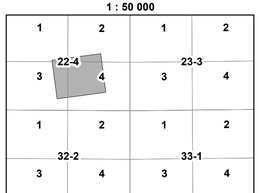

KVARTÉRNÍ POKRYV
Kvartér denudačních oblastí Českého masivu
KENOZOIKUM
KVARTÉR
holocén
Antropogenní uloženiny - skládky komunálního a stavebního odpadu
$^{l}Q_h$ Sedimenty vodních nádrží, převážně jílovité a písčité
$^{f}Q_h$ Fluviální jílovité, písčité a štěrkovité sedimenty
$^{df}Q_h$ Deluviofluviální hlinitopísčité sedimenty
holocén - pleistocén
$^{d}Q_{hp}$ Deluviální hlinité a písčité sedimenty, v polohách s úlomky hornin
pleistocén
$^{e}Q_p$ Sprašové hlíny

PLATFORMNÍ JEDNOTKY ČESKÉHO MASIVU
TERCIÉR ČESKÉHO MASIVU
Budějovická pánev – terciér
NEOGÉN
pliocén
$_{ps}N_2$ Ledenické souvrství: jílovité písky a štěrky, písčité jíly

miocén
$_{jp}N_1$ Mydlovarské souvrství: jíly, písčité jíly, jílovité písky

PŘEDPLATFORMNÍ JEDNOTKY ČESKÉHO MASIVU
MOLDANUBIKUM
PALEOZOIKUM
KARBON
žilné horniny v moldanubiku
c Pegmatit
lg Leukokrátní žilný granit

PROTEROZOIKUM - PALEOZOIKUM
žilné horniny v moldanubiku
si Žilný křemen
metamorfované horniny jednotvárné jednotky
e Erlan
Mgsi Migmatitizovaná biotitická a sillimanit-biotitická pararula
gsi Biotitická a sillimanit-biotitická pararula

zjištěná hranice litostratigrafických jednotek a hornin
pravděpodobná, přesně nezjištěná hranice litostratigrafických jednotek a hornin
petrografický přechod hornin

zlom zjištěný
vodní tok
polygon ETE - jih